

## บทที่ 1

### บทนำ

#### 1.1 ที่มาและปัญหาที่นำไปสู่การค้นคว้าและวิจัย

อุ่นโภคภัณ เป็นเครื่องมือที่ใช้ในการควบคุมการไฟฟ้าของอากาศ โดยให้อากาศที่ทราบ อุณหภูมิ ความดัน และ ความเร็ว เคลื่อนที่ผ่านแบบจำลอง และบังคับการไฟฟ้ามีความรวมเรียนมาก ที่สุดและเกิดการไฟฟ้าปั่นป่วนน้อยที่สุด ผลที่ได้จากอุ่นโภคภัณ เป็นการให้แบบจำลองอยู่กันที่แล้ว ให้อาอากาศวิ่งผ่าน ก็จะมีลักษณะเหมือนกับการให้แบบจำลองวิ่งผ่านอากาศ ซึ่งมีประโยชน์ต่องาน การค้นคว้าวิจัย ตัวอย่างเช่น

1.1.1 ระบบเผาไหม้ เช่น การศึกษาการเคลื่อนที่พรมกันของของไฟฟ้าในระบบเผาไหม้ เพื่อ หาประสิทธิภาพการเผาไหม้

1.1.2 ระบบปรับอากาศและระบบอากาศ เช่น การศึกษาการเคลื่อนที่ของอากาศในการ กระจายลม

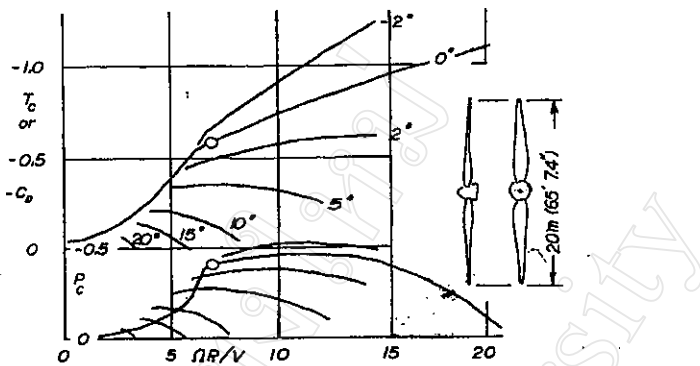
1.1.3 ระบบอากาศยาน เช่น การศึกษาการเคลื่อนที่ของวัตถุต่าง ๆ ผ่านอากาศ เพื่อศึกษา แรง ต้าน แรงยก เป็นต้น

ในประเทศไทยได้มีการออกแบบสร้างและพัฒนาอุ่นโภคภัณ โดยการใช้วัสดุที่หาได้ ภายในประเทศไทยเป็นอุ่นโภคภัณความเร็วลดต่ำและใช้กันภายในห้องทดลองของมหาวิทยาลัย เช่น สัมพันธ์ ไชยเทพ, 2527 ได้ออกแบบและสร้างอุ่นโภคภัณความเร็วต่ำ แบบเปิด ขนาด 90x120 ตารางเมตร ของมหาวิทยาลัยเชียงใหม่ และ Pimpin and Bunyajitradulya, 1999 ได้ออกแบบ และสร้างอุ่นโภคภัณความเร็วต่ำ แบบเปิด ขนาด 60x18 ตารางเมตรเพื่อใช้ในห้องทดลอง ของบุคลากรณัมหาวิทยาลัย งานวิจัยที่จะดำเนินการครั้งนี้เป็นการศึกษาพัฒนาและปรับปรุง ประสิทธิภาพของอุ่นโภคภัณต่อจาก สัมพันธ์ ไชยเทพ โดยการออกแบบกลีบใบพัดใหม่มีภาคตัด เป็นรูปแพนอากาศซึ่งคอร์ดและภาคตัดปีกคงที่ตลอดความยาวใบพัด ไม่มีการบิด และสามารถปรับ หมุนพิทช์ได้ตั้งแต่ 0-25 องศา รวมถึงศึกษาความสูญเสียต่างๆที่เกิดขึ้นภายในแต่ละส่วนของอุ่นโภคภัณ ซึ่งมีผลต่อประสิทธิภาพของอุ่นโภคภัณ เพื่อเป็นแนวทางในการออกแบบและพัฒนาอุ่นโภคภัณ ความเร็วต่ำ

## 1.2 สรุปสาระสำคัญจากเอกสารที่เกี่ยวข้อง

สัมพันธ์ ไชยเทพ [2527] รายงานการวิจัยถึงการออกแบบสร้าง ปรับปรุงและประเมินประสิทธิภาพของอุโมงค์ลมความเร็วต่ำ แบบเปิด โดยอุโมงค์ลมที่สร้างมีขนาดพื้นที่หน้าตัดในส่วนซึ่งทำงานเท่ากับ  $90 \times 120$  ตารางเซ็นติเมตร เป็นอุโมงค์ลมแบบบุดด์ ใช้ใบพัด 6 กลีบ แบบปรับพิทช์ไม่ได้ การขับเคลื่อนใบพัดกระทำโดยใช้มอเตอร์แบบปรับความเร็วรอบได้ขนาดกำลังมอเตอร์  $2.2 \text{ กิโลวัตต์}$  ได้มีการทดลองตรวจสอบผลของการทำงานของพัดลมว่า เกิดการเหนี่ยวนำให้เกิดการคงของอากาศในช่วงทำงาน จึงได้ปรับปรุงโดยคิดตั้งกรีบกัน airflow ด้านหลังช่วงทำงานจนทำให้การคงของอากาศหมดไป ซึ่งการคงของอากาศในช่วงทำงานนี้ ไม่เป็นที่ต้องการในการใช้งานจริง หากนั้นเป็นการทดลองที่ความเร็วลมต่างๆ เพื่อทำการแยกแยะ ความเร็วที่หน้าตัดช่วงทำงานพบว่ามีความเร็วที่สม่ำเสมอตลอด แต่การทำการแยกแยะความเร็ว ในช่วงชั้นชิดผิวไม่ได้กระทำเนื่องจากเครื่องมือวัดไม่ละเอียดพอ ความเร็วลมสูงสุดที่กระทำได้  $8.1$  เมตร/วินาที ที่ความเร็วรอบของใบพัด  $717$  รอบต่อนาทีซึ่งพบว่าประสิทธิภาพของใบพัดที่การทำงานสูงสุดนี้เป็น  $16.13$  เปอร์เซ็นต์ ประสิทธิภาพของอุโมงค์ลมที่สร้างนี้ ยังได้เสนอแนะว่าจะสามารถปรับปรุงให้ดีขึ้นได้โดยการเพิ่มกำลังขับ หรือออกแบบใบพัดใหม่

Larrabee and French [1983] ได้รายงานการวิจัยการออกแบบโรเตอร์เพื่อให้มีค่าความสูญเสียน้อยที่สุด โดยใช้ภาษาฟอร์แทรนในการวิเคราะห์ บนระบบปฏิบัติการแบบ RS-11 เรียกว่า HELICE ซึ่งมีสมมติฐานดังนี้ สภาพการแยกการไหลวิเคราะห์โดยวิธีของ Betz การหมุนวนของอากาศรอบใบพัดวิเคราะห์โดยวิธีของ Prandtl การหาความเร็วและถักยณา Grüpler ร่างของโรเตอร์ จะใช้วิธีอินทิกรัล มุมปั๊บที่ค่าอยู่ระหว่าง  $-90$  ถึง  $90$  องศา และการประมาณความเร็วหนึ่งที่ใช้เป็นแรงยกโรเตอร์วิเคราะห์โดยวิธีของ Prandtl จากการออกแบบโรเตอร์แบบ HELICE ขนาดเส้นผ่าศูนย์กลาง  $20$  เมตร สองใบพัด มีหน้าตัดรูปแพนอากาศแบบ NACA 4415 ซึ่งได้กราฟแสดงสมรรถนะของโรเตอร์ ดังรูป 1.1 กำลังงานที่ได้  $77,932$  วัตต์ ความเร็ว  $66.7$  รอบต่อนาที ที่โรเตอร์ และสัมประสิทธิ์กำลัง  $40.28$  เปอร์เซ็นต์ และสัมประสิทธิ์แรงต้านของโรเตอร์  $-0.575$  ที่มุมใบพัด  $0$  องศา ซึ่งเป็นจุดที่ใช้ในการออกแบบ



รูป 1.1 กราฟแสดงสมรรถนะการอุกเบนโรเตอร์แบบ HELICE

ที่มา : Larrabee and French, 1983

วิทยา มูลเมือง และ อิสระ เวียงคำพลด [2538] ได้อุกเบนสร้างและทดสอบกลไกควบคุมการปรับมุมได้ของใบพัด โดยเป็นชนิด 2 ในพัดแบบสมมาตร โดยอาศัยหลักการทำงานของเพลาเช่าร่องและลักษณะเดื่อนตามร่องที่หมุนตามกันและสามารถเลื่อนได้ตามแนวแกนเพลาโดยการควบคุมผ่านก้านโยกส่งแรงผ่านก้านส่งแรงเพื่อควบคุมชุดเดื่อนที่ประกอบด้วยลักษณะเดื่อนตามร่องและตัวลูกปืน โดยที่ลักษณะเดื่อนตามร่องจะติดอยู่กับลูกหมากทองเหลืองสองตัว โดยแต่ละตัวจะมีสกรูยึดติดกับลูกหมากทองเหลืองที่ติดอยู่กับแนวปรับมุมประทบทองใบพัดแต่ละข้าง ใบพัดทำจากอลูมิเนียมแผ่นนำมาพับขึ้นรูป และใช้หมุดยึดตามแนววรรค มีและตัวลูกปืนเม็ดกลมกันรุนแรงในแนวแกนอย่างละเอหะหนึ่งตัว ที่คุณใบพัดอุกเบนให้ระบบของใบพัดดึงจากกับเพลาเช่าร่องทันทีที่ระบบของใบพัดเปลี่ยนแปลง เมื่อจากการเปลี่ยนทิศทางการเคลื่อนที่ของชุดใบพัดในกรณีนำไปติดตั้งบนยานพาหนะที่เคลื่อนที่ จากการทดสอบพบว่า กลไกทำงานได้อย่างราบรื่นและได้ประสิทธิภาพใบพัดสูงสุดคือ 75.4 เปอร์เซ็นต์ ที่ความเร็วรอบ 900 รอบต่อนาที และมุมปะทะ 20 องศา

Pimpin and Bunyajitradulya [1999] รายงานถึงการอุกเบนพื้นนาHOOKONGค์ล้มแบบเป้าขนาด  $60 \times 18$  ตารางเมตร มุมกว้าง และติดตั้งตะแกรง漉ที่ดิฟฟิวเซอร์ (Diffuser) โดยใช้อุปกรณ์ภายในประเทศและตัวแปรที่มีผลต่อสมรรถภาพของอุHOOKONGค์ล้ม โดยประมาณค่าสัมประสิทธิ์ความสูญเสียที่เกิดขึ้นภายในแต่ละส่วนของอุHOOKONGค์ล้มดังตาราง 1.1 และเขียนค่าความสัมพันธ์ของความสูญเสียที่เกิดขึ้นภายในอุHOOKONGค์ล้มในรูปแบบความเร็วที่หน้าตัดช่วงทำงาน ( $V_T$ ) โดยค่าความสูญเสียจะเกิดขึ้นมากที่สุดที่ตะแกรง漉ประมาณ 70 เปอร์เซ็นต์ เมื่อจากพื้นที่หน้าตัดที่

ใหญ่กว่าช่วงทำงาน 1.12 เท่า และมีความเร็วในการไหลสูง ซึ่งสามารถลดการสูญเสียโดยการติดตั้งชุดตะแกรง漉ค์ให้มีพื้นที่เท่ากับพื้นที่ในช่วงทำงาน

ตาราง 1.1 แสดงค่าสัมประสิทธิ์ความสูญเสียแต่ละส่วนภายในอุโมงค์

Component	Loss Coefficient ( $K_i$ )	% Loss
Filter (screens)	4.1	70
Flexible duct	0.26	5
Settling duct	0.3	5
Screened diffuser	0.14	2
Settling chamber	0.06	1
Contraction	0.01	0
Test section (not installed)	-	-
Free jet	1	17
Total	5.9	100

ที่มา : Pimpin and Bunyajitradulya, 1999

Sathapornnanon, et al. [1999] รายงานวิจัยเกี่ยวกับการติดตั้งตะแกรง漉ค์ภายในดิฟฟิวเซอร์ ซึ่งเป็นส่วนหนึ่งภายในอุโมงค์ถมความเร็วต่ำ แบบเป้า ขนาด  $60 \times 18$  ตารางเซนติเมตร โดยดิฟฟิวเซอร์มีขนาดทางเข้า  $45 \times 45$  ตารางเซนติเมตร ทางออก  $100 \times 100$  ตารางเซนติเมตร ความยาวตามแนวแกน 120 เซนติเมตร และมีมุมของดิฟฟิวเซอร์  $2\theta = 26$  องศา,  $AR = 5$  ในงานวิจัยจะทำการติดตั้งตะแกรง漉ค์จำนวน 5 ชุดมีขนาดซ่องตาข่ายเบอร์ 8 เส้น漉ค์ขนาด 0.5 มิลลิเมตร  $\beta = 0.71$  และ  $K' = 0.58$  โดยแต่ละตะแกรง漉ค์หลังจากติดตั้งจะมีขนาดเล็กกว่าขนาดของดิฟฟิวเซอร์ ประมาณ 2.5 เซนติเมตร พบว่าในกรณีติดตั้งตะแกรง漉ค์ตั้งแต่ 3 ชุด ถึง 5 ชุด สามารถป้องกันการแยกการไหลอยู่ภายนอกช่วง  $\pm 6$  เปอร์เซ็นต์และสามารถป้องกันการไหลแบบไม่สม่ำเสมอมากกว่า 90 เปอร์เซ็นต์ จากทางเข้าถึงทางออก และจากการศึกษาของ Mehta [1977] แนะนำว่าการติดตั้งตะแกรง漉ค์แบบบางส่วน คือไม่เต็มพื้นที่หน้าตัดสามารถลดสัมประสิทธิ์ของความสูญเสียประมาณ 50 เปอร์เซ็นต์เมื่อเปรียบเทียบกับแบบเต็ม

Sakulyanontvittaya, et al. [1999] ได้รายงานวิจัยเกี่ยวกับการออกแบบและพัฒนา ช่วงจักรูปแบบการไหล และช่วงเร่งความเร็วภายในอุโมงค์ลมความเร็วต่ำ แบบเป้าขนาด  $60 \times 18$  ตารางเซนติเมตร โดยช่วงจักรูปแบบการไหลมีขนาดพื้นที่หน้าตัด  $100 \times 100$  ตารางเซนติเมตร ความยาว 134 เซนติเมตร ส่วนภายในจะติดตั้งตะแกรง漉มวลเบอร์ 4 ขนาดเส้นผ่าศูนย์กลาง 0.6 มิลลิเมตร  $\beta = 0.82$  และ  $K' = 0.27$  และ ชุดรังผึ้งขนาดเส้นผ่าศูนย์กลาง 15 มิลลิเมตร ความยาว 125 มิลลิเมตร ซึ่งมีอัตราส่วนความยาวต่อเส้นผ่าศูนย์กลาง 8.3 และสูงประมาณ 60 เซลต่อความกว้างของช่วงจักรูปแบบการไหล ส่วนช่วงเร่งความเร็วจะออกแบบสร้างตามสมการ โพลิโนเมียลคีรี 4 และจากการทดสอบพบว่าความเร็วสูงสุดของอุโมงค์ลมโดยวัดที่ทางออกของช่วงเร่งความเร็ว มีความเร็วสูงสุด 13.95 เมตร/วินาที ความไม่สม่ำเสมอ 0.2 เมตร ต่อวินาที และความไม่สม่ำเสมอหนึ่งอย่าง  $\pm 1.5$  เปอร์เซ็นต์ ที่ความหนาของน้ำอยู่กว่า 3 มิลลิเมตร และที่ความเร็ว 7.79 เมตรต่อวินาที ความไม่สม่ำเสมอหนึ่งอย่าง  $\pm 2.2$  เปอร์เซ็นต์ ที่ความหนาของน้ำอยู่กว่า 4 มิลลิเมตร

Habali and Saleh [2000] ได้รายงานเกี่ยวกับการออกแบบทดสอบและผลิตใบพัดกังหันลมที่พื้นที่หน้าตัดรูปแพนอากาศแบบผสมคือวัสดุพลาสติกเสริมเส้นใยแก้ว โรเตอร์จะถูกออกแบบที่อัตรากำลังขนาด 20 กิโลวัตต์ และเมื่อหาค่าความสูญเสียที่เครื่องกำเนิดไฟฟ้า และอุปกรณ์ส่งกำลังงานได้กำลังงานที่โรเตอร์เท่ากับ 15 กิโลวัตต์ ความเร็ว 9.5 เมตรต่อนาที และสัมประสิทธิ์กำลัง 40 เปอร์เซ็นต์ ออกแบบได้โรเตอร์ที่มีพื้นที่หน้าตัด 93.3 ตารางเมตร เส้นผ่าศูนย์กลาง 10.4 เมตร จำนวนใบพัด 3 ใบ ความหนา 20 มิลลิเมตร ซึ่งลักษณะของใบพัดจะเป็นหน้าตัดรูปแพนอากาศแบบผสมคือด้านโคนของใบพัดจะเป็นหน้าตัดแบบ NACA 63-621 ส่วนด้านปลายของใบพัดเป็นหน้าตัดแบบ FX66-5-19-6 ในการวิเคราะห์ภาระที่กระทำ ความเค้นและความเครียดที่เกิดขึ้นบนใบพัดจะใช้วิธีการของไฟฟ้าในตัวอิเล็กทรอนิกส์โดยใช้โปรแกรม ARISE ใน การวิเคราะห์ ซึ่งผลจากการวิเคราะห์พบว่า ความเค้นสูงสุดเกิดขึ้นที่ด้านโคนรับแรงแนวคั่งของใบพัด ติดกับหน้าแปลนขนาด 9.348 เมกะปานาสติก เมื่อเปรียบเทียบกับความเค้นของวัสดุพลาสติกเสริมเส้นใยแก้ว พบว่ามีค่าความปลดปล่อยเท่ากับ 6.7 ความเครียดสูงสุดมีขนาด 0.15 เปอร์เซ็นต์ซึ่งน้อยกว่าค่าที่ยอมรับได้ของ Jansen คือ 0.3 เปอร์เซ็นต์ และค่าการโถ่ตัวที่ปลายใบพัดเท่ากับ 104.3 มิลลิเมตร ขณะที่มีภาระกระทำ สรุปได้ว่ามีความปลดปล่อยสามารถใช้งานได้ ส่วนการทดสอบจะทำการทดสอบ 2 วิธีคือ การทดสอบภาระที่กระทำแบบสถิติค์ และการทดสอบสมรรถนะของโรเตอร์ซึ่งผลจากการทดสอบพบว่าใบพัดสามารถรับภาระที่เกิดได้ 10 เท่าของช่วงทำงานปกติ และมีสัมประสิทธิ์กำลัง 41.2 เปอร์เซ็นต์

Wittner and Moller [2000] รายงานการวิจัยเกี่ยวกับสมรรถนะของอุโมงค์ลมความเร็วต่ำแบบเปิด ที่ใช้เกี่ยวกับการจำลองการไหลของลมธรรมชาติ เพื่อใช้ในการวิเคราะห์ปัญหาทางด้านโครงสร้าง การวิจัยจะทำการประเมินสมรรถภาพของอุโมงค์ลม โดยจะทำการวัดความเร็วเฉลี่ยและการแกว่งตัวของความเร็วด้วยเครื่องมือวัดความเร็วแบบ Hot wire anemometer และการทดลองจะถูกแสดงในรูปของการกระจายความเร็วและความหนาแน่นของการไหลวน ซึ่งเงื่อนไขที่ขอบของการทดลองจะใช้วิธีของ Counihan [Cook, 1978] และ Standag [Cook, 1978] ในการจำลองลมธรรมชาติของบรรยายกาศ พบว่าการกระจายความเร็วเฉลี่ยสำหรับ โดย Counihan ที่ 27 เมตร ต่อวินาที และ Standag ที่ 25 เมตรต่อวินาที และความหนาแน่นของการไหลวนทั้งสองวิธีได้ค่าต่ำกว่าค่าของสมการ Harris & Davenport [Blessmann, 1995] โดยแนวโน้มจะเพิ่มขึ้นที่บริเวณผนังด้านล่าง

### 1.3 วัตถุประสงค์ของการวิจัย

1.3.1 เพื่อปรับปรุงสมรรถนะและประสิทธิภาพในการทำงานของอุโมงค์ลมความเร็วต่ำแบบเปิด โดยการเปลี่ยนไปพัดลมชนิดไอลตามแนวแกนเพลาจากแบบแบน (Flat plate) เป็นแบบหน้าตัดรูปแพนอากาศ

1.3.2 เพื่อสร้างสมการทางคณิตศาสตร์แสดงความสัมพันธ์ความดันสูญเสียเทียบกับสัมประสิทธิ์ความสูญเสียและความเร็วช่วงทำงานของอุโมงค์ลมความเร็วต่ำแบบเปิด

1.3.3 ออกแบบและสร้างพัดลมชนิดไอลตามแนวแกนเพลาที่มีภาคตัดขวางใบพัดแบบรูปแพนอากาศ และสามารถปรับมุมพิทซ์ ที่ใช้งานกับอุโมงค์ลมความเร็วต่ำแบบเปิดโดยให้ได้ความเร็วและประสิทธิภาพสูงสุดภายในกำลังชุดขั้นแบบเดิม

### 1.4 ประโยชน์ที่ได้รับจากการศึกษา เทิงทฤษฎีและประยุกต์

1.4.1 เป็นแนวทางในการพัฒนาและปรับปรุงประสิทธิภาพของอุโมงค์ลมความเร็วต่ำแบบเปิด

1.4.2 สามารถนำสมการทางคณิตศาสตร์ที่ได้ไปประยุกต์ใช้ในการออกแบบอุโมงค์ลมความเร็วต่ำแบบเปิด

1.4.3 ใช้เป็นอุปกรณ์ทดสอบและงานวิจัยเกี่ยวกับการเคลื่อนที่ไปในอากาศของเหหวัตถุต่างๆ เช่น การศึกษาทดลองประสิทธิภาพของกังหันลมจำลองชนิดต่างๆ เป็นต้น

## 1.5 ขอบเขตการวิจัย

1.5.1 อุโมงค์ลมที่ใช้ในการทดสอบเป็นแบบเปิด ความเร็วต่ำ ชนิดดูดอากาศ ใช้กำลังขับ 摩托อร์ 3 เฟส ขนาด 3.7 กิโลวัตต์ 1,450 รอบต่อนาที ที่ 50 เฮิรต สามารถปรับความเร็วรอบได้ ตัวย่อในเวอร์เตอร์ โดยมีโครงสร้างของอุโมงค์ลมที่มีอยู่แล้วนี้ดังรูป 1.2 และรายละเอียดดังนี้

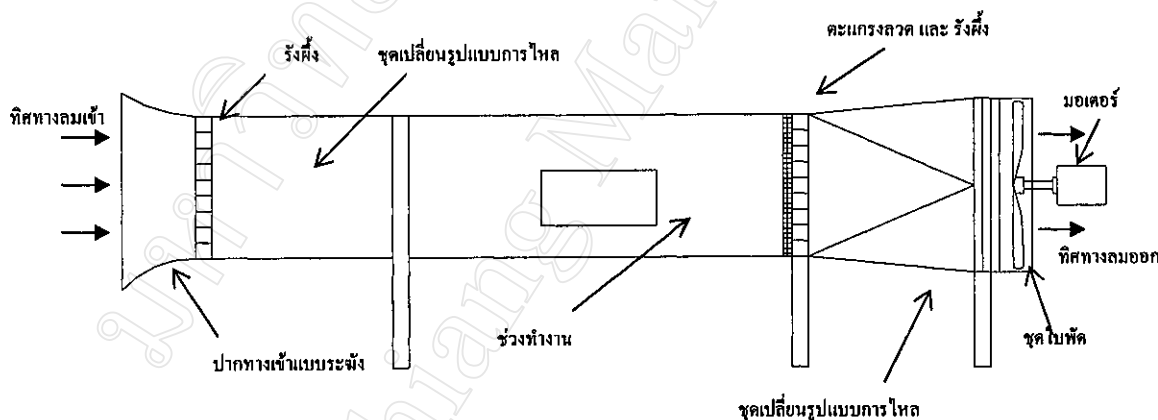
1.5.1.1 ปากทางเข้าแบบระผัง ขนาดหน้าตัดทางเข้า 121x180 ตารางเซนติเมตร ขนาดหน้าตัดทางออก 90x120 ตารางเซนติเมตร ความยาว 72 เซนติเมตร

1.5.1.2 ช่วงขั้วบูรณาการไอล ขนาดหน้าตัด 90x120 ตารางเซนติเมตร ความยาว 120 เซนติเมตร

1.5.1.3 ช่วงทำงาน ขนาดหน้าตัด 90x120 ตารางเซนติเมตร ความยาว 240 เซนติเมตร

1.5.1.4 ช่วงเปลี่ยนหน้าตัด ขนาดเส้นผ่านศูนย์กลางทางออก 90 เซนติเมตร ขนาดหน้าตัดทางเข้า 102x120 ตารางเซนติเมตร ความยาว 110 เซนติเมตร

1.5.1.5 ใบพัดของพัดลมตามแนวแกนก่อนการเปลี่ยนแปลง เป็นแบบแผ่น ขนาดเส้นผ่านศูนย์กลาง 100 เซนติเมตร 6 ใบ และไม่สามารถปรับมุมพิทช์ได้



รูป 1.2 แสดงส่วนประกอบต่างๆภายในอุโมงค์ลม

ที่มา : สัมพันธ์ : ไซเทพ, 2527

1.5.2 พิจารณาการออกแบบพัดลมตามแนวแกนในทางอุดมคติ กล่าวคือ จำนวนใบพัดเป็นอันเดียว และไม่คิดแรงเสียดทานที่ผิวของใบพัด

1.5.3 สมนติฐานการออกแบบใบพัด คือ หน้าตัดแบบรูปแพนอากาศ คอร์ดและภาคตัดปีกคงที่ตลอดความยาวใบพัด ไม่มีการบิด และสามารถปรับมุมพิทช์ ตั้งแต่ 0-25 องศา ตัวอย่างตามภาคผนวก ๖.

1.5.4 ในการคำนวณมวลอากาศที่เคลื่อนผ่านช่วงทำงาน จะสมมติการไหลที่เกิดขึ้นในช่วงทำงานของอุโมงค์ลมแบบความเร็วต่ำ เป็นการไหลแบบสม่ำเสมอตลอดทั้งภาคตัด และไม่ขึ้นกับเวลา

1.5.5 ความสูญเสียที่เกิดขึ้นภายในอุโมงค์ลมความเร็วต่ำแบบเปิด จะแสดงอยู่ในรูปพิงค์ชัน  $f(V_T)$  โดย  $V_T$  คือ ความเร็วที่หน้าตัดช่วงทำงาน

1.5.6 ความหนาแน่นและอุณหภูมิสำหรับใช้ในการคำนวณเป็นความหนาแน่นและอุณหภูมิเฉลี่ยของสถานที่ที่ใช้ในการทดสอบ

1.5.7 สมนติให้อากาศมีคุณสมบัติเป็นก๊าซอุดมคติต่อผลการวิจัย